

## تأثیر سختی یاتاقان مغناطیسی فعال بر ارتعاشات آشوبناک روتور انعطاف‌پذیر

سعید قائدی<sup>۱</sup>, مصطفی غیور<sup>۲</sup> و حشمت الله محمد خانلو<sup>۳</sup><sup>۱</sup>دانشجوی کارشناسی ارشد، دانشگاه صنعتی اصفهان، اصفهان<sup>۲</sup>استاد، دانشگاه صنعتی اصفهان، اصفهان<sup>۳</sup>استادیار، دانشگاه علوم و فنون هواشناسی شهید ستاری، تهران

تاریخ دریافت: ۱۳۹۴/۰۸/۲۰؛ تاریخ بازنگری: ۱۳۹۴/۱۱/۰۱؛ تاریخ پذیرش: ۱۳۹۵/۰۳/۱۶

## چکیده

در ماشین آلات دوار، انتخاب تکیه‌گاه‌های مناسب همواره از اهمیت بالایی برخوردار بوده است. رایج‌ترین تکیه‌گاه‌ها، یاتاقان‌های غلتشی و لغزشی می‌باشند که تماس بین روتور و یاتاقان، می‌تواند منجر به نیروهای غیرخطی و تغییر رفتار دینامیکی سیستم شود. از طرفی با جایگزینی یاتاقان‌های مغناطیسی، امکان حذف تماس وجود دارد؛ ولی عوامل غیرخطی جدیدی در اثر نیروهای مغناطیسی ظاهر می‌شوند که نیازمند تجزیه و تحلیل هستند. در این مقاله، رفتار غیرخطی سیستم در حضور یاتاقان‌های مغناطیسی فعال (AMB) بررسی شده است. سیستم دارای یک دیسک صلب نیالاتس بوده، به صورت انعطاف‌پذیر و با هشت درجه آزادی (چهار درجه برای دیسک و دو درجه برای هر یاتاقان) مدل و نیروهای ژیروسکوپی ناشی از انعطاف‌پذیری روتور نیز در نظر گرفته شده است. معادلات حاکم به صورت غیرخطی و کوپله استخراج و با روش رانگ - کوتای مرتبه چهار حل شده‌اند. تحلیل با سه نوع یاتاقان مغناطیسی و سه سختی متفاوت انجام شده است. برای شناسایی رفتارهای غیرخطی سیستم از تکنیک‌های شناسایی، مانند تاریخچه زمانی، منحنی‌های صفحه فار، نمودارهای طیف توان، مقاطع پوانتکاره، نمودارهای دوشاخه‌ای شدن (انشعاب) و ماکریزم نمای لیپاتروف استفاده می‌شود. نتایج، بیانگر وقوع حرکت‌های پریودیک، زیر هارمونیک، شبه پریودیک و آشوبناک در پاسخ سیستم بوده، با افزایش سختی یاتاقان مغناطیسی، محدوده‌های وقوع آشوب دچار تغییر می‌شود.

کلمات کلیدی: روتور انعطاف‌پذیر، یاتاقان مغناطیسی، آشوب، ماکریزم نمای لیپاتروف.

## Influence of Active Magnetic Bearing Stiffness on Chaotic Vibration of Flexible Rotor

S. Ghaedi<sup>1</sup>, M. Ghayour<sup>2,\*</sup>, H. Mohammad Khanlo<sup>3</sup><sup>1</sup> M.S. Student, Mech. Eng., Isfahan University of Tech., Isfahan, Iran.<sup>2</sup> Prof., Mech. Eng., Isfahan University of Tech., Isfahan, Iran.<sup>3</sup> Assist. Prof., Department of Aerospace Eng., Aeronautical Univ. of Sci. and Tech., Tehran, Iran.

## Abstract

Choosing the appropriate end supports has been great importance in rotating machinery. The mechanical bearings (ball and journal) are more popular types of supports that used in rotating systems. However, the rub-impact between the rotor and bearing is main disadvantage of these types of bearings. Whereby, the active magnetic bearings have been developed recently that removes the rub-impact, but induces new nonlinear factors that affect the dynamical behavior of system. An unbalanced disk is mounted on the shaft. The rotor is modeled as three masses and 8 D.O.F. The governing equations are extracted in form of nonlinear coupled ordinary differential equations. The influence of magnetic bearing stiffness on the chaotic behavior of a flexible rotor supported by active magnetic bearings is investigated. The bifurcation diagrams, phase planes, power spectra, Poincare map and maximum Lyapunov exponents are used to analyze the response under different operational conditions. The numerical results shows a rich variety of nonlinear behavior including periodic, sub-periodic, quasi-periodic and chaotic vibration due to active magnetic bearing stiffness. Also the results reveals the significant changes in the chaotic regions in 8 D.O.F model.

Keywords: Flexible Rotor; Magnetic Bearing; Chaos; Maximum Lyapunov Exponents.

\* نویسنده مسئول؛ تلفن: ۰۲۱۳۳۹۱۵۲۴۷

آدرس پست الکترونیک: [ghayour@cc.iut.ac.ir](mailto:ghayour@cc.iut.ac.ir)

پاسخ به تعددید اولیه روتور صلب – AMB و تأثیر کوپلینگ نیروهای مغناطیسی اهمیت این اثر را نمایان می‌سازد [۲]. در تحقیق وانگ و همکاران، تأثیر سختی یاتاقان با ترم‌های غیرخطی مرتبه دو و سه روی پاسخ روتور نیز بررسی شده، حرکت شیبه پریودیک، زیر هارمونیک دوم و همچنین پرش در رفتار سیستم مشاهده شده است [۳]. بررسی پایداری و دوشاخگی پاسخ روتور صلب – AMB با تأخیر زمانی توسط وانگ و همکارش انجام و مشخص شده است که با افزایش تأخیر سنسور و گذشت آن از مقدار بحرانی آن، دوشاخگی هاپف در پاسخ سیستم ظاهر می‌شود [۴]. فعالیت این مقاله با بررسی تواحی نایابیاری پاسخ، توسط وانگ و همکارش روی یک سیستم مشاهده ادامه یافت [۵]. در برخی از مطالعات سختی یاتاقان مغناطیسی به صورت متغیر با زمان (هارمونیک) در نظر گرفته شده است. تحقیق وانگ و همکارانش در این زمینه، محدوده‌های آشوبناک در پاسخ روتور را بررسی می‌کند. در این مطالعات، همواره پدیده آشوب نوع شلنیکف<sup>۱</sup> در پاسخ سیستم قابل مشاهده است [۶]. در مطالعه عنایت حسین [۷] مدل سیستم روتور-AMB با در نظر گرفتن عوامل غیرخطی، همانند چریان قطب‌های مغناطیسی، فاصله هولی بین روتور و استاتور و تأثیرات هندسه یاتاقان ارائه شده است. روتور دو درجه آزادی و محور بدون جرم بوده، اثر نایالاتی مزایای این یاتاقان‌ها، امکان کنترل فعال حرکت روتور است، به طوری که با کنترل چریان ورودی به قطب‌های یاتاقان، می‌توان ارتعاشات روتور را کنترل کرد.

### ۱-۱- مروری بر تحقیقات انجام شده

مرور مطالعات انجام شده در زمینه ارتعاشات روتور – AMB در دو قسمت مجزا شامل، تحقیقات با فرض صلب بودن محور و روتور انعطاف‌پذیر انجام گرفته که در ادامه به مهمترین آن‌ها اشاره می‌شود. تأثیر عوامل غیرخطی ناشی از کوپلینگ هندسی یاتاقان، روی پاسخ روتور صلب با یاتاقان مغناطیسی فعال توسط ام و همکارش، بررسی و وجود دوشاخه‌ای شدن هاپف<sup>۲</sup> در محدوده معینی از سرعت روتور آشکار شده است [۱]. مطالعات ویرجین و همکاران، وجود حل چندگانه<sup>۳</sup> در

<sup>۱</sup> Shilnikov Type Multi-pulse Chaotic Phenomenon

<sup>۲</sup> Active Magnetic Bearings

<sup>۳</sup> Hopf Bifurcation

<sup>۳</sup> Multiple Solution

### ۱- مقدمه

وجود نایالاتی غیرقابل اجتناب در ماشین‌آلات دوار، همواره ارتعاشاتی تاخوسته به پاسخ دینامیکی سیستم تحمیل می‌کند. به طوری که با افزایش دور روتور، این اثر تقویت شده و در سرعت‌های بالا اثراتی مخرب در پی دارد. همچنین وجود تماس در یاتاقان‌های مکانیکی (غلتشی و لغزشی) نیز، از مشکلات همیشگی در زمینه طراحی روتور است: زیرا این نیروی تماسی ماهیتی غیرخطی داشته، با حضور آن در معادلات حرکت، رفتارهای متفاوتی در سیستم پدید می‌آید. این عیب، طراحان را به سوی طراحی و ساخت یاتاقان‌های بدون تماس سوق داد که یاتاقان‌های آیرودبینامیکی از تلاش-های انجام شده در راستای نیل به همین هدف است. آنچه که به عنوان عیب این یاتاقان‌ها شناخته شده است، لیجاد سختی و استهلاک نسبتاً کم آن‌هاست.

یاتاقان‌های مغناطیسی فعال<sup>۱</sup> (AMB)، این قابلیت را دارند که با قرار دادن کنترلری مناسب، ارتعاشات روتور را کنترل نموده، زمینه لازم جهت عملکرد صحیح سیستم را فراهم نمایند. نیرویی که این یاتاقان‌ها جهت شناور کردن روتور ایجاد می‌کنند، غیرخطی و تابعی از سرعت و موقعیت محور است. یکی از بزرگ‌ترین مزایای این یاتاقان‌ها، امکان کنترل فعال حرکت روتور است، به طوری که با کنترل چریان ورودی به قطب‌های یاتاقان، می‌توان ارتعاشات روتور را کنترل کرد.

### ۱-۱- مروری بر تحقیقات انجام شده

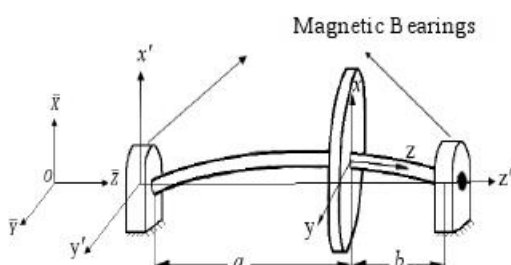
مرور مطالعات انجام شده در زمینه ارتعاشات روتور – AMB در دو قسمت مجزا شامل، تحقیقات با فرض صلب بودن محور و روتور انعطاف‌پذیر انجام گرفته که در ادامه به مهمترین آن‌ها اشاره می‌شود. تأثیر عوامل غیرخطی ناشی از کوپلینگ هندسی یاتاقان، روی پاسخ روتور صلب با یاتاقان مغناطیسی فعال توسط ام و همکارش، بررسی و وجود دوشاخه‌ای شدن هاپف<sup>۲</sup> در محدوده معینی از سرعت روتور آشکار شده است [۱]. مطالعات ویرجین و همکاران، وجود حل چندگانه<sup>۳</sup> در

رفتار دینامیکی سیستم تأثیرگذار بوده، فرکانس طبیعی سیستم را دچار تغییر می‌نماید. همچنین در مقالاتی که روتور به صورت انعطاف‌پذیر مدل شده، دیسک در مرکز قرار دارد و دارای دو درجه آزادی انتقالی است. با این فرض، ترم‌های ژیروسکوپی در معادلات ظاهر نشده، این خاصیت مهم ماشین‌های دوار تا دیده گرفته می‌شود. یکی دیگر از مواردی که در اکثر مقالات انجام شده در زمینه آشوب روتور  $AMB$ ، از آن صرف‌نظر می‌شود، تأثیر اثر وزن روتور بر رفتار غیرخطی سیستم است که در تحقیق حاضر، این نیرو در معادلات حرکت سیستم لحاظ شده است.

هدف از این مطالعه، ارائه مدل مناسب‌تری از سیستم روتور  $AMB$  است، به گونه‌ای که با وجود اثرات ژیروسکوپی در معادلات، دیسک نیز می‌تواند در نقطه‌ای به جز مرکز محور قرار گیرد. به همین منظور، مدل ۸ درجه آزادی از سیستم روتور  $AMB$  ارائه گردیده و از ایزارهای شناسایی رفتارهای غیرخطی از جمله، تاریخچه زمانی، طیف شناسایی منحنی‌های صفحه فاز، نگاشت پوانکاره، نمودار دوشاخه‌ای شدن و ماکزیمم نمای لیاپانوف استفاده شده است.

## ۲- مدل روتور انعطاف‌پذیر $AMB$

شمایلیک سیستم مورد مطالعه، در شکل ۱ نشان داده شده است. روتور با سرعت ثابت  $\omega$  دوران می‌کند و در دو انتهای توسط دو یاتاقان مغناطیسی چهار قطبی مهار شده است. روتور انعطاف‌پذیر بوده، یک دیسک صلب روی آن قرار گرفته است. یک نیالانسی استایلیک روی دیسک قرار دارد که موجب تحریک هارمونیک سیستم است.



شکل ۱ روتور انعطاف‌پذیر یا یاتاقان‌های مغناطیسی

هارمونیک دوم، چهارم، هشتم و آشوب، همواره در رفتار روتور وجود دارد [۱۰]. وانگ و همکارش [۱۱]، پاسخ غیرخطی روتور  $AMB$  با دیسک صلب نیالانسی را مطالعه کردند. در این تحقیق، از نمودار دوشاخه‌ای شدن مرکز ژورنال، طیف توان و نگاشت پوانکاره برای تحلیل نتایج عددی پهده است آمده از روش رانگ\_کوتای مرتبه چهار استفاده شده است. در مطالعه عنایت حسین روی تأثیر کوپلینگ مغناطیسی بر رفتار روتور  $AMB$  انعطاف‌پذیر می‌دهد که با افزایش کوپلینگ نیروهای مغناطیسی یاتاقان، طیف وسیعی از ارتعاشات زیر هارمونیک در پاسخ سیستم مشاهده شده، آشوب در سرعت‌های پایین‌تری اتفاق می‌افتد [۱۲]. تاهم‌راستایی یاتاقان‌ها نیز، یکی از مشکلات عمدۀ در ماشین‌های دوار است که تحقیق عنایت حسین نشان می‌دهد که با افزایش تاهم‌راستایی، بسته به مقدار کوپلینگ نیروهای مغناطیسی، حرکت در سرعت کمتری به حرکت آشوب می‌انجامد [۱۳]. هالمینن و همکاران [۱۴]، دینامیک سیستم روتور یا یاتاقان‌های مغناطیسی و کمکی را هنگام تماس محور یا یاتاقان‌های کمکی، مورد بررسی قرار دادند. یاتاقان‌های کمکی یا روش اجزاء محدود مدل شده‌اند. یک مدل پیشنهادی از روتور  $AMB$ ، توسط استی و همکارش ارائه شده است تا با استفاده از آن و با به کارگیری روش فیلتر کالمن بهبود یافته<sup>۱</sup> برای یافتن پارامترهای غیرخطی سیستم، بتوان رفتار غیرخطی سیستم را توصیف کرد [۱۵]. در زمینه بررسی پارامترهای مؤثر در یاتاقان‌های مغناطیسی فعال، حجت و همکاران با ساخت یک یاتاقان مغناطیسی فعال، پارامترهای بهینه سیستم را با کنترلر ID استخراج کردند [۱۶]. شناسایی خطای اندازه‌گیری سنسور موقعیت، یکی از مشکلات کنترل یاتاقان‌های مغناطیسی فعال است که دریندی و همکاران با طراحی کنترلر ID، این خطای را به خوبی شناسایی و اثر آن را روی پاسخ حذف کردند [۱۷]. در این مطالعه، حل به صورت تحلیلی و عددی انجام شده است. در بیشتر مطالعاتی که در زمینه بررسی دینامیک غیرخطی روتور  $AMB$  انجام گرفته است، روتور به صورت صلب مدل شده است: اما در ماشین‌های دوار، انعطاف‌پذیری روتور روی

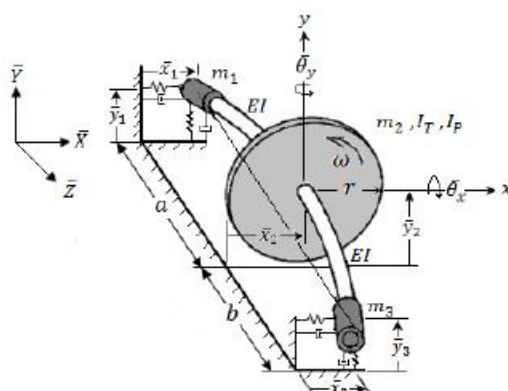
<sup>۱</sup> Enhanced Kalman-Filter

## ۱-۲-۲- انرژی جنبشی سیستم

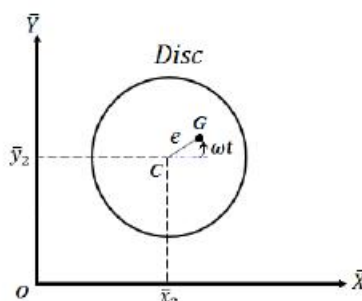
با توجه به کم بودن تسبیت شعاع محور به دیسک، از انرژی جنبشی دورانی چرم در ژورنال‌ها صرف نظر شده، تنها دارای انرژی جنبشی انتقالی می‌باشدند: در صورتی که دیسک انرژی جنبشی دورانی را نیز دارد است. با داشتن مختصات مرکز دیسک ( نقطه C) در شکل ۳، می‌توان سرعت مرکز چرم دیسک ( نقطه G) را مطابق رابطه (۲) محاسبه کرد.

جدول ۱ پارامترهای فیزیکی مدل

واحد	مقدار	نام	پارامتر
$\text{kg/m}^3$	۷۸۰۰	چگالی	$\rho$
m	۰/۵	طول محور	l
m	۰/۱	شعاع محور	r
m	۰/۱	شعاع دیسک	R
$\text{N.m}^2$	۱۶۵۰	صلبیت خمشی	EI
-	۰/۰۱	ضربی میرابی هوا	$\zeta_e$



شکل ۲ مدل ارائه شده سیستم روتور \_ [۱۸] AMB



شکل ۳ موقعیت مرکز چرم دیسک

## ۱-۲- مدل ارائه شده

در اغلب مدل‌های ارتعاشی، سیستم پیوسته واقعی به صورت گسسته در نظر گرفته می‌شود و معادلات دیفرانسیل پاره‌ای حاکم بر سیستم اصلی، به مجموعه‌ای از معادلات دیفرانسیل معمولی تبدیل می‌شود. در روش اجزاء محدود، سیستم اصلی به تعدادی المان مجزا تقسیم می‌شود: به طوری که افزایش تعداد المان‌ها، تعداد معادلات بیشتر و متعاقب آن، افزایش دقت حل تقریبی را در بی خواهد داشت. با این روش، حل عمومی برای معادلات معمولی حاکم برای هندسه‌های ساده، به راحتی قابل دستیابی است. موضوع مهم در این روش، تقسیم کل سیستم به تعداد مناسبی از درجات آزادی است تا علاوه بر ارائه مدل مناسبی از سیستم واقعی، حجم محاسبات در حد قابل قبولی باشد: زیرا دقت فرکانس‌های طبیعی سیستم، بستگی مستقیم به مدل اجزاء محدود دارد.

شکل ۲، مدل پیشنهادی روتور را نشان می‌دهد. در این مقاله، روتور به صورت هشت درجه آزادی در نظر گرفته شده است. به صورتی که سیستم اصلی به سه چرم گسسته تقسیم شده است. دو چرم انتهایی ( $m_3$  و  $m_1$ )، امکان جایه‌جایی در چهت  $\bar{x}$  و آرا دارند، در حالی که دیسک ( $m_2$ )، علاوه بر تغییر مکان در چهت  $\bar{x}$  و آرا ممکن دوران حول دو راستای مذکور را نیز دارد. در مدل ارائه شده، چرم هر محور در دو نقطه ۱ و ۳ به صورت نقطه‌ای قرار می‌گیرد: در تیجه محور انعطاف‌پذیر به صورت بدون چرم و عاملی برای اتصال چرم‌های متumerکز ایقای نقش می‌کند.

جدول ۱، مشخصات فیزیکی سیستم مورد نظر را نشان می‌دهد. به این ترتیب، تمام پارامترها و ضرایب بدون بعد سیستم با استفاده از همین مقادیر عددی به دست می‌آیند.

## ۲-۲- معادلات حاکم بر سیستم

معادلات یا فرض عمود ماندن دیسک بر تار خنثای تیر و استفاده از روش معادلات لاغرانژ به دست می‌آید.

$$\frac{d}{dt} \left( \frac{\partial T}{\partial q_i} \right) - \left( \frac{\partial T}{\partial \dot{q}_i} \right) + \left( \frac{\partial U}{\partial q_i} \right) + \left( \frac{\partial D.E}{\partial q_i} \right) = Q_i \quad (1)$$

$T$  و  $V$  به ترتیب، انرژی جنبشی و پتانسیل سیستم و  $q_i$ ،  $\dot{q}_i$  و  $D.E$  به ترتیب، مختصات تعیین یافته، نیروهای تعمیم یافته و نیروی اتفاقی سیستم است.

تابع حدسی انتخاب شود که شرایط مرزی را ارضاء کند [۱۸]. تابع حدس انتخاب شده، چند جمله‌ای مرتبه سه است. با توجه به عدم وجود ممان خمشی در ابتدای محور، ضریب جمله مرتبه دوم تابع حدس پایستی صفر باشد. اثری پتانسیل تیر تحت خمش از انتگرال گیری اثری کرنشی در طول تیر به دست می‌آید. اثری پتانسیل از اصل پرهمنه‌ی اثری کرنشی در دو جهت عمود بر هم محاسبه می‌شود. با یافتن ضرایب تابع حدس در دو راستا، گشتاور خمشی تیر از رابطه  $M_y = EIy''$  و  $M_x = EIx''$  قابل دستیابی است. با توجه به این که نیروی یاتاقان‌های مغناطیسی تابعی از تغییر مکان روتور نسبت به دستگاه ساکن است، مناسب است این خیزها، در دستگاه ثابت تصویر شوند.

با بیان خیزها در دستگاه ساکن، اثری پتانسیل به صورت رابطه (۶) است.

$$V = \frac{EI}{2} \int_0^l \left( I_x \left( \frac{d^2 \bar{x}}{d\bar{z}^2} \cos \omega t + \frac{d^2 \bar{y}}{d\bar{z}^2} \sin \omega t \right)^2 + I_y \left( -\frac{d^2 \bar{x}}{d\bar{z}^2} \sin \omega t + \frac{d^2 \bar{y}}{d\bar{z}^2} \cos \omega t \right)^2 \right) d\bar{z} \quad (6)$$

با توجه به دایره‌ای بودن مقطع روتور  $I_x = I_y = I$  اثری پتانسیل سیستم به صورت رابطه (۷) ساده می‌شود.

$$V = \frac{EI}{2} \int_0^l \left( \left( \frac{d^2 \bar{x}}{d\bar{z}^2} \right)^2 + \left( \frac{d^2 \bar{y}}{d\bar{z}^2} \right)^2 \right) d\bar{z} \quad (7)$$

### ۳-۲-۳- نیروهای اتلافی سیستم

نیروهای مستهلك‌کننده اثری در سیستم، نیروی ویسکوز ناشی از وجود هوا در اطراف دیسک است. نیروی اتلافی هوا به صورت میرالی ویسکوز روی دیسک مدل شده است. اثری اتلافی میرالی ویسکوز به صورت رابطه (۸) بیان می‌شود [۱۲].

$$D.E = \frac{1}{2} C \left( \dot{\bar{x}}_2^2 + \dot{\bar{y}}_2^2 \right) \quad (8)$$

### ۴-۲-۲- نیروهای خارجی وارد بر سیستم

نیروهای خارجی وارد بر سیستم، شامل نیروی وزن و نیروی تولید شده توسط یاتاقان‌های مغناطیسی است. همان‌طور که در شکل ۵ تشنان داده شده است، یاتاقان‌های مغناطیسی در این مدل سازی شعاعی بوده، دارای چهار قطب الکترومغناطیسی می‌باشند که در راستای  $\bar{x}$  و آنرا گرفته‌اند. نیروهای مغناطیسی تولیدی توسط این قطب‌ها، تابعی غیرخطی از چریان‌های عبوری از سیمپیچ و فاصله هولی موجود در بین قطب‌ها و محور است.

$$\begin{aligned} \overline{OG} &= \begin{bmatrix} \bar{x}_2 + e \cos \omega t \\ \bar{y}_2 + e \sin \omega t \end{bmatrix} \\ \Rightarrow \overline{VG} &= \begin{bmatrix} \dot{\bar{x}}_2 - e\omega \sin \omega t \\ \dot{\bar{y}}_2 + e\omega \cos \omega t \end{bmatrix} \end{aligned} \quad (2)$$

درنتیجه اثری جنبشی انتقالی کل سیستم برایر است با:

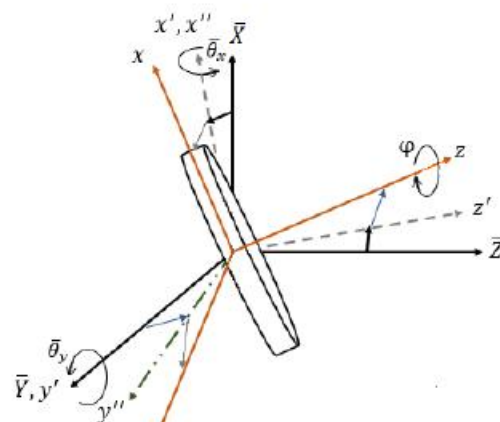
$$T_{Transfer} = \frac{1}{2} \begin{pmatrix} m_1 (\dot{\bar{x}}_1^2 + \dot{\bar{y}}_1^2) \\ + m_3 (\dot{\bar{x}}_3^2 + \dot{\bar{y}}_3^2) \\ + m_2 \left( \dot{\bar{x}}_2^2 + \dot{\bar{y}}_2^2 + e \omega^2 \right) \\ + 2e\omega \dot{\bar{y}}_2 \cos \omega t \\ - 2e\omega \dot{\bar{x}}_2 \sin \omega t \end{pmatrix} \quad (3)$$

یافتن اثری جنبشی دورانی دیسک، مستلزم داشتن زوایای اویلر است. با توجه به شکل ۴ و در نظر گرفتن چرخش‌ها به ترتیب حول محورهای  $Z$ ,  $\bar{Y}$ ,  $x'$ ,  $Z$  اثری جنبشی دورانی دیسک به صورت رابطه (۴) به دست می‌آید.

$$T_{rot} = \frac{1}{2} \begin{pmatrix} I_T (\dot{\theta}_y \sin \varphi \cos \bar{\theta}_x + \dot{\theta}_x \cos \varphi)^2 \\ + I_T (\dot{\theta}_y \cos \varphi \cos \bar{\theta}_x - \dot{\theta}_x \sin \varphi)^2 \\ + I_p (-\dot{\theta}_y \sin \bar{\theta}_x + \omega)^2 \end{pmatrix} \quad (4)$$

با توجه به کوچک بودن زوایای  $\theta_x$  و  $\theta_y$ ، اثری دورانی دیسک برایر رابطه (۵) است با:

$$T_{rot} = \frac{1}{2} [I_T (\dot{\theta}_x^2 + \dot{\theta}_y^2) + I_p (\omega^2 - 2\omega \dot{\theta}_y \bar{\theta}_x)] \quad (5)$$



شکل ۴ زوایای اویلر دیسک

### ۲-۲-۲- انرژی پتانسیل سیستم

انرژی پتانسیل محور تحت خمش، ولایته به اتحنای تیر است. به همین منظور، برای به دست آوردن تغییر شکل روتور، باید

در بیشتر یاتاقان‌های مغناطیسی فعال جریان‌های  $i_x$  و  $i_y$  توسط کنترلر PD کنترل می‌شود: بنابراین جریان کنترلی

در راستای  $\bar{x}$  و  $\bar{y}$  به صورت راپله (۱۰) بیان می‌شود:

$$i_x = \bar{P}\bar{x} + \bar{D}\dot{\bar{x}} \quad & i_x = i_0 + \bar{P}\bar{y} + \bar{D}\dot{\bar{y}} \quad (10)$$

$\bar{P}$  و  $\bar{D}$  به ترتیب، ضرایب تناسبی و مشتق‌گیر کنترلر هستند.

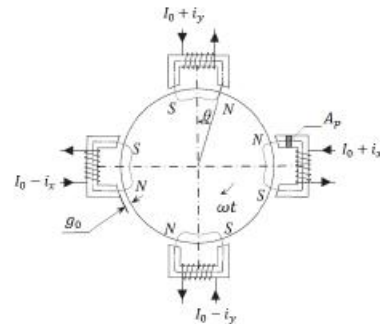
جریان کنترلی در راستای  $\bar{y}$  به علت وزن روتور، دارای مقدار ثابت  $i_0$  برای معلق نگهداشتن روتور در حالت استاتیکی است.

با استفاده از روابط لاغرانژ و ضرایب بدون بعد و روابط (۱۱) که شرح آن‌ها در فهرست علاوه آمده است، معادلات حرکت سیستم به صورت روابط (۱۲) استخراج می‌شود.

$$\begin{aligned} I_p &= \frac{1}{2}m_2 r^2, I_T = \frac{1}{4}m_2 r^2, \gamma = \frac{m_1+m_2}{m_2} \\ \beta &= \frac{m_1}{m_1+m_2}, f = \sqrt{\frac{\mu_0 N^2 A_p I_0^2 (P-1)}{g_0^2}}, \Omega = \frac{\omega}{\omega_n} \\ u &= \frac{e}{g_0}, \tau = \omega_n t, x_i = \frac{\bar{x}_i}{g_0}, y_i = \frac{\bar{y}_i}{g_0} \\ w &= \frac{g}{g_0 f}, P = \frac{g_0 \bar{P}}{I_0}, D = \frac{g_0 \omega_n \bar{D}}{I_0}, i = \frac{i_0}{I_0} \quad (11) \\ \ddot{x}_1 &= F_{Mx_1} - \frac{1}{\gamma f^2 \beta^2} (x_1 - x_2 + \beta \theta_y) \\ \ddot{y}_1 &= F_{My_1} - \frac{1}{\gamma f^2 \beta^2} (y_1 - y_2 + \beta \theta_x) - \frac{w}{f^2} \\ \ddot{x}_2 &= \frac{-1}{f^2 \beta^2} (-x_1 + x_2 - \beta \theta_y) \\ &\quad - \frac{1}{f^2 (1-\beta)^2} (x_2 - x_3 + (1-\beta) \theta_y) \\ &\quad + u \Omega^2 \cos \Omega \tau - \frac{2 \zeta_e}{f} \dot{x}_2 \\ \ddot{y}_2 &= \frac{-1}{f^2 \beta^2} (-y_1 + y_2 + \beta \theta_x) \\ &\quad - \frac{1}{f^2 (1-\beta)^2} (y_2 - y_3 - (1-\beta) \theta_x) \\ &\quad + u \Omega^2 \sin \Omega \tau - \frac{2 \zeta_e}{f} \dot{y}_2 - \frac{w}{f^2} \\ \ddot{\theta}_x &= -\Omega \dot{\theta}_y - \frac{4n^2}{f^2 \beta^2} (-y_1 + y_2 + \beta \theta_x) \\ &\quad - \frac{4n^2}{f^2 (1-\beta)^2} (-y_2 + y_3 + (1-\beta) \theta_x) \\ \ddot{\theta}_y &= \Omega \dot{\theta}_x - \frac{4n^2}{f^2 \beta^2} (x_1 - x_2 + \beta \theta_y) \\ &\quad - \frac{4n^2}{f^2 (1-\beta)^2} (x_2 - x_3 + (1-\beta) \theta_y) \\ \ddot{x}_3 &= F_{Mx_3} - \frac{1}{\gamma f^2 (1-\beta)^4} (-x_2 + x_3 - (1-\beta) \theta_y) \\ \ddot{y}_3 &= F_{My_3} - \frac{1}{\gamma f^2 (1-\beta)^4} (-y_2 + y_3 + (1-\beta) \theta_x) - \frac{w}{f^2} \quad (12) \end{aligned}$$

در این معادلات،  $W$  پارامتر وزن بوده،  $F_{My}$  و  $F_{Mx}$  نیروهای بدون بعد یاتاقان مغناطیسی و به قدر رابطه (۱۳) می‌باشند.

$$\begin{aligned} F_{Mx} &= \frac{1}{4(P-1)} \left[ \left( \frac{1-Px-Dx}{1-x} \right)^2 - \left( \frac{1+Px+Dx}{1+x} \right)^2 + \right. \\ &\quad \left. \alpha x \left( \left( \frac{1+i-Py-Dy}{1-y} \right)^2 + \left( \frac{1-i+Py+Dy}{1+y} \right)^2 \right) \right] \\ F_{My} &= \frac{1}{4(P-1)} \left[ \left( \frac{1+i-Py-Dy}{1-y} \right)^2 - \left( \frac{1-i+Py+Dy}{1+y} \right)^2 + \right. \\ &\quad \left. \alpha y \left( \left( \frac{1-Px-Dx}{1-x} \right)^2 + \left( \frac{1+Px+Dx}{1+x} \right)^2 \right) \right] \quad (13) \end{aligned}$$



شکل ۵ شماتیک یاتاقان مغناطیسی فعال چهار قطبی

با صرفنظر کردن از اثرات جریان گردابی<sup>۱</sup>، نتیجه مغناطیسی<sup>۲</sup> و تلفات هیسترزیس در هسته سیم پیچ‌ها، نیروهای مغناطیسی اعمال شده به روتور در راستای  $\bar{x}$  و  $\bar{y}$  در موقعیت دلخواه به صورت روابط (۹) بیان می‌شوند [۷]

$$\begin{aligned} \bar{F}_{Mx} &= \frac{\mu_0 N^2 A_p}{4} \left( \left( \frac{(I_0+i_x)}{g_0-x} \right)^2 - \left( \frac{(I_0-i_x)}{g_0+x} \right)^2 + \right. \\ &\quad \left. \alpha x \left( \left( \frac{(I_0+i_y)}{g_0-y} \right)^2 + \left( \frac{(I_0-i_y)}{g_0+y} \right)^2 \right) \right) \\ \bar{F}_{My} &= \frac{\mu_0 N^2 A_p}{4} \left( \left( \frac{(I_0+i_y)}{g_0-y} \right)^2 - \left( \frac{(I_0-i_y)}{g_0+y} \right)^2 + \right. \\ &\quad \left. \alpha x \left( \left( \frac{(I_0+i_x)}{g_0-x} \right)^2 + \left( \frac{(I_0-i_x)}{g_0+x} \right)^2 \right) \right) \quad (9) \end{aligned}$$

$N$  تعداد حلقه‌های سیم پیچ‌ها،  $\mu_0 = 4\pi \times 10^{-7}$  ضرایب تقویت‌پذیری میدان مغناطیسی<sup>۳</sup> در خلاء،  $A_p$  سطح مقطع موثر قطب‌ها،  $g_0$  حداقل فاصله هولوی بین قطب‌ها و روتور،  $I_0$  جریان پایاس،  $x$ ،  $y$  جایه‌جلایی محور در راستای  $\bar{x}$  و  $\bar{y}$ ،  $i_x$  و  $i_y$  نیز، جریان کنترلی در راستای  $\bar{y}$  در موقعیت دلخواه،  $\theta_x$  و  $\theta_y$  اندیشیده به کویل‌ها، در راستای  $\bar{x}$  و  $\bar{y}$  است. مقادیر عددی پارامترهای رابطه (۹)، در جدول ۲ آمده است.

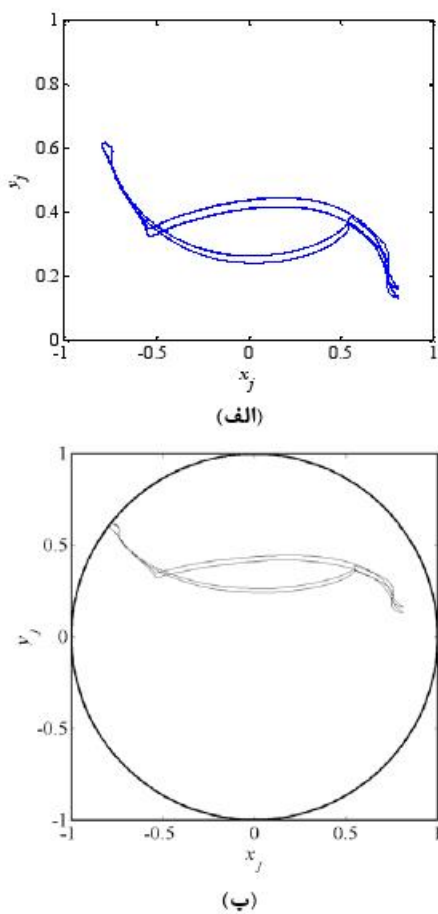
جدول ۲ مقادیر عددی پارامترهای یاتاقان مغناطیسی

واحد	مقدار
$H/m$	$4\pi \times 10^{-7}$
$N$	$200-150-100$
$m^2$	$1-1$
$A_p$	$2182$
$A$	$2182$
$m$	$1-1-5$
$g_0$	$1-1-5$

<sup>1</sup> Eddy Current

<sup>2</sup> Flux Leakage

<sup>3</sup> Magnetic Permeability



شکل ۶ مدار لنگ زنی روتور  $f = 1.5$ ,  $\gamma = 0.2$  (الف)  
نتایج شبیه‌سازی و (ب) نتایج مرجع [۹]

شکل ۶، مسیر لنگ زنی<sup>۱</sup> سیستم روتور-AMB چهار درجه آزادی را نشان می‌دهد. نتایج شبیه‌سازی، یا در نظر گرفتن پارامترهای سیستم مطابق با این مرجع به دست آمده است. درواقع با قرار گرفتن دیسک در مرکز محور و عدم تغییر زاویه آن، دو درجه آزادی دورانی دیسک حذف و با فرض برای بودن پاسخ ژورنال سمت چپ با ژورنال سمت راست، مدل ارائه شده در این تحقیق، به مدل مرجع [۹] کاهش می‌باید.

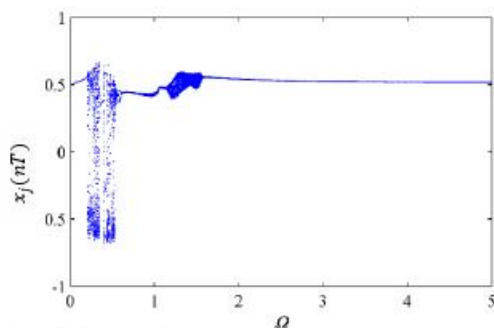
### ۳- شبیه‌سازی عددی و تحلیل نتایج

حل عددی معادلات (۱۲) با استفاده از روش رانگ-کوتای مرتبه ۴ یا گام زمانی متغیر انجام می‌گیرد. نسبت سرعت چرخشی به عنوان پارامتر کنترلی انتخاب شده است. برای اطمینان از پایدار بودن اطلاعات عددی به دست آمده، مقدار نسبتاً قابل توجهی از اطلاعات تاریخچه زمانی کنار گذاشته شده، نتایج پس از این بازه برای تحلیل رفتار غیرخطی سیستم مورد استفاده قرار می‌گیرد. تحلیل عددی در سه پخش و یا سه نوع یاتاقان مغناطیسی یا سختی‌های مختلف انجام و تأثیر آن‌ها بر ارتعاشات آشوبناک سیستم، مورد بررسی قرار می‌گیرد. برای شناسایی رفتار دینامیکی سیستم از ایزارهای شناسایی این پدیده شامل، تاریخچه زمانی، منحنی‌های صفحه فاز، نمودارهای طیف توان، مقاطع پوانتکاره و نمودارهای دوشاخه‌ای مُدن و ماکریتم نمای لیپاتوف استفاده شده است.

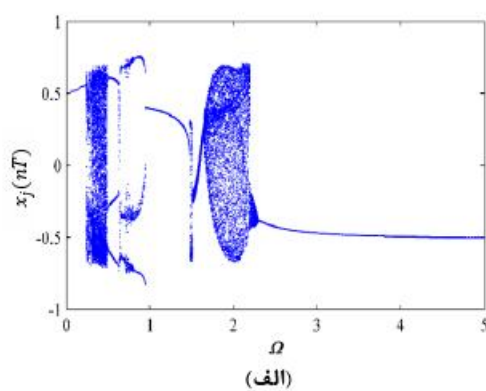
در این تحقیق، برای بررسی رفتار دینامیکی سیستم از مدل انعطاف‌پذیر استفاده شده است. برای صحت سنجی مدل ارائه شده، یا ساده‌سازی مدل کنوتی یه مدل مرجع [۱۲] رسمیده، برخی از نتایج با یکدیگر مقایسه می‌شوند. در مرجع [۱۲]، سیستم روتور-AMB با یک دیسک صلب در وسط محور در نظر گرفته شده است. سیستم به صورت چهار درجه آزادی مدل شده است: بهصورتی که سیستم به سه جرم گسسته (یک جرم برای دیسک و دو جرم ژورنال) تقسیم شده و هر جرم دارای دو درجه آزادی در دو راستای X و Y است. در این مرجع، فرض شده است که با نصب دیسک در مرکز محور، پاسخ ژورنال سمت چپ در دو راستا، دقیقاً همان رفتار ژورنال راست بوده، دلیل آن به مرجع [۱۰] ارجاع داده شده است. مرکز تیز در مودهای مختلف ارتعاشی، گره یا ضد گره بوده، یا قرارگیری دیسک در مرکز محور، تغییرات زاویه ای چندانی در دیسک ایجاد نمی‌شود: در حالی که در تحقیق حاضر، قیدی بر متقاضی بودن سیستم نبوده، همین ویژگی زمینه حضور ترم‌های ژیروسکوپی ثالثی از تغییرات زاویه‌ای دیسک را در معادلات حرکت سیستم فراهم می‌سازد.

<sup>۱</sup> Whirl Orbit

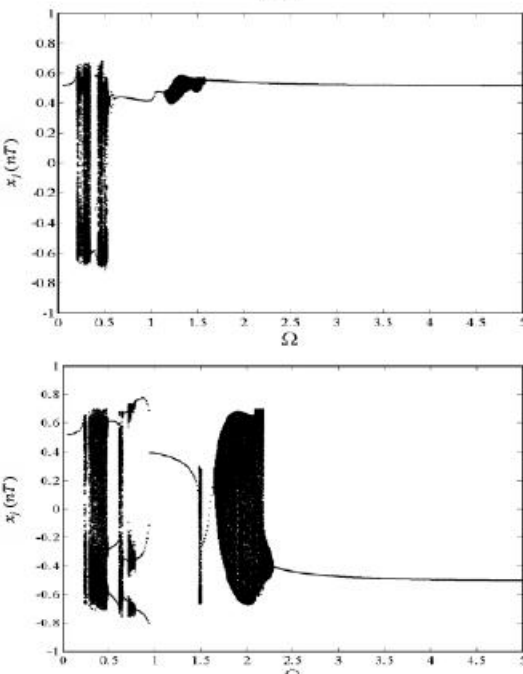
$$f = 2.5, \gamma = 0.2$$



$$f = 1.5, \gamma = 0.2$$



(الف)



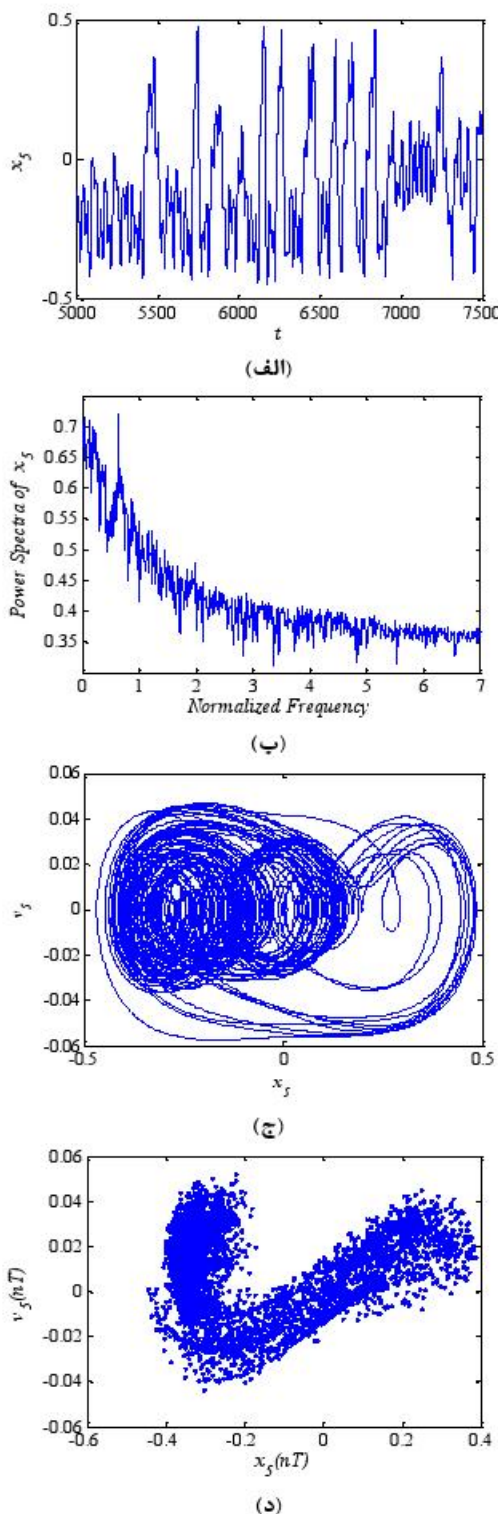
(ب)

شکل ۷ نمودار دوشاخه‌ای شدن با پارامترهای مختلف  $\alpha$  (ا) نتایج یه‌دست‌آمده و (ب) نتایج مرجع [۹]

برای اطمینان بیشتر، دو نمودار دوشاخه‌ای شدن مرجع [۹] به ازای پارامترهای مختلف، شبیه‌سازی شده‌اند (شکل ۷)، یا توجه به هم‌خوانی پسیار خوب نتایج یه‌دست‌آمده و نتایج مرجع مذکور، صحت مدل ارائه شده تأیید می‌شود. همان‌طور که در فهرست عالم مقاله آمده است، ۵ بیانگر تسبیت فرکانس طبیعی یاتاقان مغناطیسی، به فرکانس طبیعی سختی تور است [۹]. عوامل مؤثر در سختی مغناطیسی یاتاقان، تعداد دور سیم پیچ، چربیان پایاس قطب‌ها، سطح مقطع قطب، ضریب تنسیسی کنترل کننده و فاصله هوایی تامی یاتاقان است: بنابراین برای تغییر سختی از سه نوع یاتاقان مغناطیسی استاندارد یا تعداد دور سیم پیچ ۱۰۰، ۱۵۰، ۲۰۰ و ۲۴۰ استفاده شده است [۱۹]. در ادامه تحلیل در سه بخش مجزا و با قرار دادن هر یک از یاتاقان‌های فوق انجام می‌شود.

### ۳-۱-۳- تحلیل با یاتاقان مغناطیسی 100

شکل ۸، نمودار دوشاخه‌ای شدن جایه‌چایی دیسک در راستای  $x$  ( $x_5$ ) را با  $N = 100$  نشان می‌دهد. ابتدا، رفتار سیستم به صورت پریودیک (1T) تا  $\Omega = 0.117$  است. سپس در یک پرش، پاسخ زیر هارمونیک دوم، چهارم، نایهی پسیار کوچکی از آشوب و بازگشت به حرکت هارمونیک در محدوده کوچک  $\Omega = [0.118 \sim 0.137]$  مشاهده می‌شود. سپس پاسخ به زیر هارمونیک دوم رفت و در  $\Omega = 0.143$  به یکباره آشوب اتفاق می‌افتد و تا  $\Omega = 0.163$  ادامه می‌یابد. پس از آن، در نایه‌های کوچک پاسخ سیستم به ترتیب به زیر هارمونیک‌های سوم، چهارم و دوم جذب می‌شود. تا این که در  $\Omega = 0.186$  مجدداً پاسخ وارد نایه‌ی آشوبناک شده و تا  $\Omega = 0.298$  این رفتار تداوم دارد. البته در این بازه و در سرعت‌هایی خاص پاسخ هارمونیک تیز مشاهده می‌شود. با افزایش سرعت دورانی سیستم، پاسخ زیر هارمونیک سوم و دوم مشاهده شده و باز در محدوده  $\Omega = [0.311 \sim 0.323]$  پدیده آشوب در پاسخ ظاهر می‌شود. سپس در  $\Omega = 0.324$  پاسخ پایدار شده، تا رسیدن به  $\Omega = 0.35$  با دوره تناوب ۶T و ۳T ادامه می‌یابد. و تداوم این رفتار تا  $\Omega = 0.24$  قابل مشاهده است. با افزایش نسبت سرعت  $\Omega$  در محدوده  $\Omega = [0.35 \sim 0.368]$  پار دیگر یک جاذب غریب، پاسخ سیستم را آشوبناک می‌سازد. عبور از سرعت دورانی

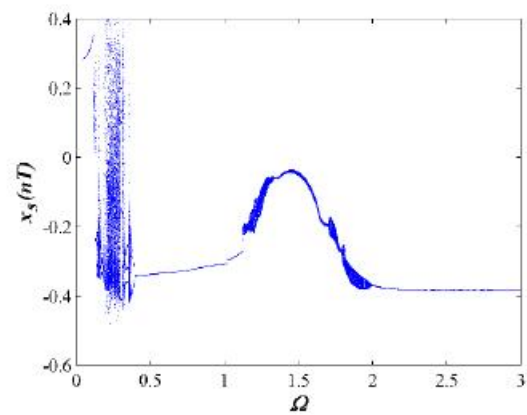


شکل ۱۰ پاسخ دیسک (الف) تاریخچه زمانی، ب) طیف توان،  
ج) منحنی صفحه فاز و د) نگاشت بوانکاره در  $\Omega = 0.23$

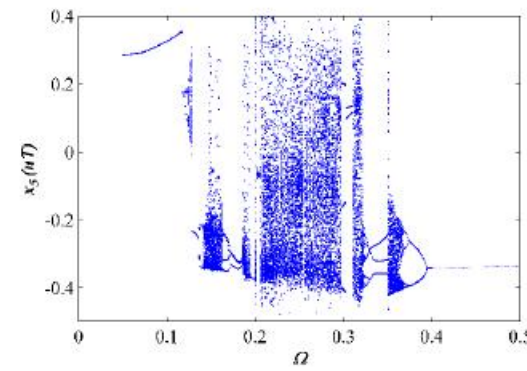
$\Omega = 0.368$  کافی است تا درنهایت رفتار سیستم پس از گذشت از نواحی کوچکی از ارتعاشات زیر هارمونیک چهارم و دوم به حرکت پریودیک بازگردد. در این قسمت از نمودار، بهجز حضور رفتار آشوبناک در بازه‌های  $\Omega = [1.12 \sim 1.34]$  و  $\Omega = [1.7 \sim 1.9]$  اتفاق خاصی رخ تداده، رفتار دینامیکی سیستم تا  $\Omega = 3$  پریودیک باقی می‌ماند.

لازم به ذکر است، نواحی که در تقسیم نمودار دوشاخه‌ای شدن، از آن‌ها یقیناً به عنوان نواحی آشوبناک یادشده، با ابزارهای دیگر بررسی شده‌اند؛ ولی به علت محدودیت در تعداد صفحات مقاله، تنها بررسی چند نسبت سرعت در مقاله آورده شده است. در شکل ۹، بازه  $\Omega = [0 \sim 0.4]$  جهت وضوح بیشتر رفتار سیستم نمایش داده شده است.

در شکل ۸ گفته شد، در نسبت سرعت‌های  $\Omega = 0.23$  آشوب اتفاق افتاده است. با توجه به شکل ۱۰، امکان رخداد آشوب در نمودار تاریخچه زمانی به علت شکل بی‌نظم آن و حضور طیف وسیعی از فرکانس‌ها در نمودار طیف توان، وجود

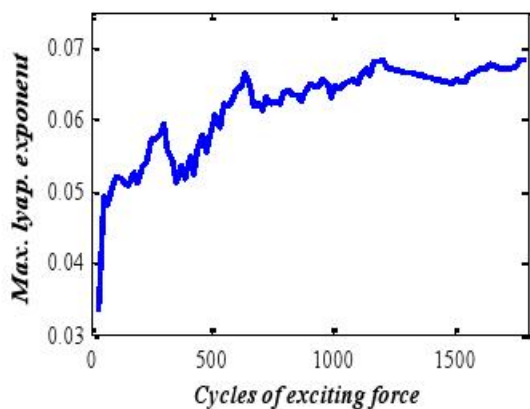


شکل ۸ نمودار دوشاخه‌ای شدن  $x_5$  یا تعداد بیچه

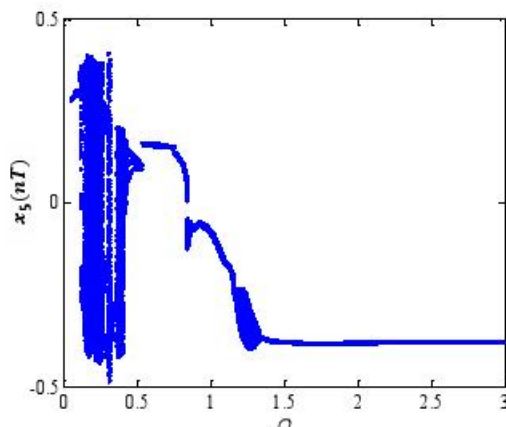


شکل ۹ نمودار دوشاخه‌ای شدن  $x_5$  در بازه  $\Omega = [0 \sim 0.4]$

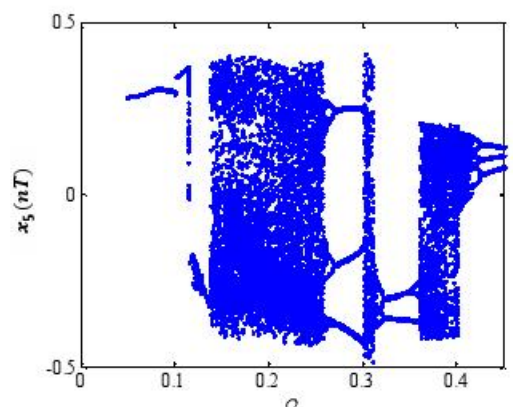
با تشدید تأثیر عوامل غیرخطی، رفتار دینامیکی سیستم باز در دو محدوده  $\Omega = [0.837 \sim 0.867]$  و  $\Omega = [1.18 \sim 1.336]$  دارد.



شکل ۱۱ مائزیم نمای لیاپانوف پاسخ در  $\Omega = 0.23$



شکل ۱۲ نمودار دوشاخه‌ای شدن  $x_5$  با  $N=150$



شکل ۱۳ نمودار دوشاخه‌ای شدن  $x_5$  در  $\Omega = [0 \sim 0.45]$

دارد. از طرفی در منحنی صفحه فاز احتمال اشتباه در تشخیص حرکت آشوبناک از حرکت شبیه پریودیک وجود دارد؛ اما نقاط بی‌نظمی که در مقطع پوکاره نقش پسته‌اند، نشان از حرکت آشوبناک سیستم در این سرعت دارند. بهمنظور اطمینان کامل از موقع آشوب در  $\Omega = 0.23$  از ایزار مائزیم تمای لیاپانوف در شکل ۱۱ استفاده شده است. با توجه به شکل ۱۱، مثبت بودن تمای لیاپانوف وجود پدیده آشوب را تأیید می‌کند. لازم به ذکر است، روتند تعیین مائزیم تمای لیاپانوف در این تحقیق با استفاده از الگوریتم ارائه شده در مرجع [۲۰ و ۲۱] انجام گرفته است.

### ۲-۳- تحلیل با یاتاقان مغناطیسی $N=150$

در این قسمت، تحلیل با قرار دادن یاتاقان مغناطیسی با تعداد دور سیم پیچ  $N=150$  برای هر قطب انجام می‌شود؛ بنابراین تکیه‌گاه، با سختی بیشتری روتور را مهار می‌نماید. شکل ۱۲، تmodار دوشاخه‌ای شدن پاسخ دیسک را با یاتاقان مغناطیسی با  $N=150$  نشان می‌دهد. رفتار سیستم تفاوت‌هایی را نسبت به حالت قبل نشان می‌دهد. رفتار متناسب سیستم پس از یک پرش در  $\Omega = 0.102$  همچنان مشاهده شده، پس از حرکت زیر هارمونیک چهارم و دوم در تابعیه کوچک  $\Omega = [0.12 \sim 0.128]$ ، ادامه می‌یابد. در پاسخ  $\Omega = 0.139$  پاسخ وارد حالت آشوبناک شده و پایان آن در  $\Omega = 0.26$  و درنتیجه کاهش وسعت تابعیه آشوبناک سیستم، اولین تفاوت رفتار را نسبت به حالت قبل تمایان می‌سازد. پس از این تابعیه، پاسخ پس از گذر بازه کوچکی از حرکت زیر هارمونیک  $5T$ ، به زیرهارمونیک سوم وارد شده، تداوم آن تا  $\Omega = 0.302$  مشاهده می‌شود. پس از رخداد پدیکیاره آشوب و تداوم آن تا  $\Omega = 0.313$  رفتار سیستم به زیر هارمونیک چهارم و سپس زیر هارمونیک دوم می‌رود و این رفتار تا  $\Omega = 0.354$  حفظ می‌شود. تنها در محدوده کوچکی، پاسخ سیستم به حرکت با دوره تناوب  $3T$  وارد شده، با افزایش سرعت دورانی، در  $\Omega = 0.361$  رفتار سیستم آشوبناک شده، این رفتار تا حدود  $\Omega = 0.414$  ادامه می‌یابد. مجدداً در محدوده  $\Omega = [0.415 \sim 0.53]$  پاسخ سیستم پایدار گشته، به زیر هارمونیک ششم و سوم می‌رود. آنچه در ادامه مشاهده می‌شود، حضور رفتار پریودیک ( $1T$ ) در بازه نسبتاً بزرگ  $\Omega = [0.53 \sim 0.81]$  و وجود دو پرش در این بازه است.

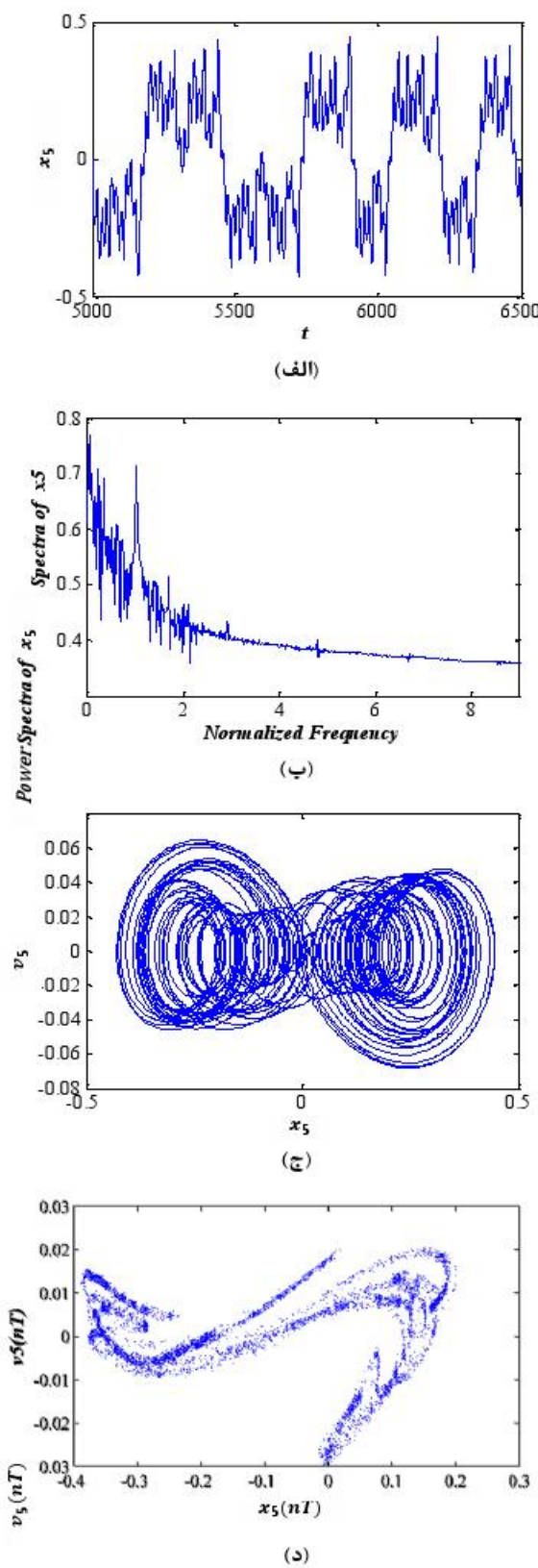
آشوبناک می‌شود؛ اما با گذشت از این مقادیر سرعت، اتفاق قابل توجهی رخ نداده، مطابق قبل رفتار دینامیکی سیستم تا  $\Omega = 3$  متناوب پاکی می‌ماند. تفاوت‌های دیگری که می‌توان به آن اشاره کرد، وجود نواحی بیشتری از پاسخ پایدار در محدوده  $\Omega = [0 \sim 0.4]$  نسبت به حالت قبل پایدار در محدوده  $\Omega = [0 \sim 0.45]$  است. همچنین در سرعت‌های بالا ( $\Omega > 0.8$ )، آشوب در نسبت سرعت پایین‌تری نسبت به حالت قبل رخ داده و نیز سریع‌تر به پاسخ پایدار انتقال می‌یابد. در این قسمت نیز، جهت تماش پهلو مطالب فوق، نمودار دو-شاخه‌ای شدن (شکل ۱۳) در بازه  $\Omega = [0 \sim 0.45]$  آورده شده است.

شکل ۱۴، دیگر ایزارهای شناسایی آشوب را برای سرعت  $\Omega = 0.37$  نشان می‌دهد.

با توجه به شکل ۱۴، نمودار پاسخ زمانی در  $\Omega = 0.37$ ، دارای شکلی بی‌نظمی بوده، تعداد زیادی فرکانس در نمودار طیف توان به چشم می‌خورد. با توجه به این‌که برای اطمینان از تماش پاسخ ماندگار، میزان قابل توجهی از نمودار پاسخ زمانی کنار گذاشته شده است، تمنی‌توان این بی‌نظمی را به پاسخ گذرای سیستم نسبت داد؛ درنتیجه، این مشخصات به همراه وجود چندین مسیر در منحنی صفحه فاز و نقاط توده‌ای نگاشت پوانکاره، احتمال آشوب را بسیار بالا می‌برد. یا میثت بودن ماکزیمم نمای لیپاپونوف در شکل ۱۵، وجود آشوب در این نسبت سرعت، به طور کامل تأیید می‌شود.

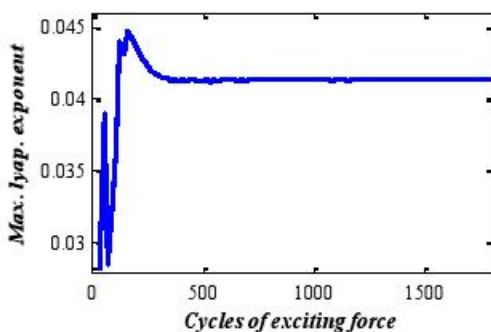
**۲-۳- تحلیل با یاتاقان مغناطیسی  $N=200$**   
نمودار دو شاخه‌ای شدن پاسخ دیسک پرای یاتاقان مغناطیسی با تعداد دور  $N = 200$  در شکل ۱۶ نشان داده شده است.

با نگاهی گذرا به شکل ۱۶ مشاهده می‌شود، نواحی پاسخ آشوبناک سیستم نسبت به دو تحلیل قبل کاهش یافته است. در این نتایج، در  $\Omega = 0.12$  پاسخ پریودیک وارد حالت آشوبناک شده، تا  $\Omega = 0.155$  ادامه می‌یابد. حضور آشوب در سرعت پایین‌تر نسبت به دو حالت قبل، از نتایج مهم تأثیر سختی مغناطیسی بر رفتار آشوبناک سیستم است. با گذر از آشوب، سیستم در بازه  $\Omega = [0.156 \sim 0.177]$  رفتار زیر هارمونیک  $3T$  و  $6T$  را از

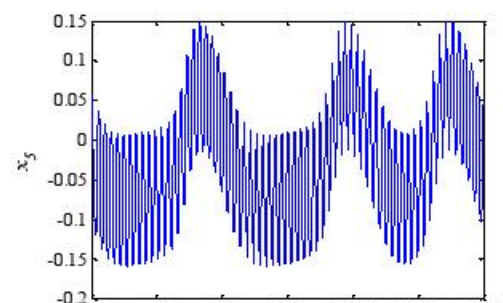


شکل ۱۴ پاسخ دیسک (الف) تاریخچه زمانی، (ب) طیف توان، (ج) منحنی صفحه فاز و (د) نگاشت پوانکاره در  $\Omega = 0.37$ .

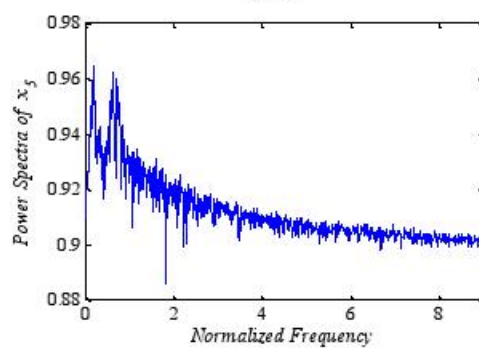




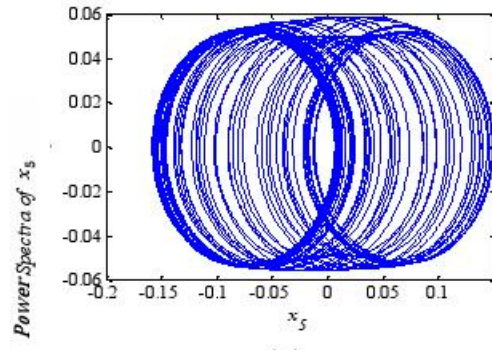
شکل ۱۹ ماکزیمم نمای لیاپانوف پاسخ دیسک در  $\Omega = 0.65$



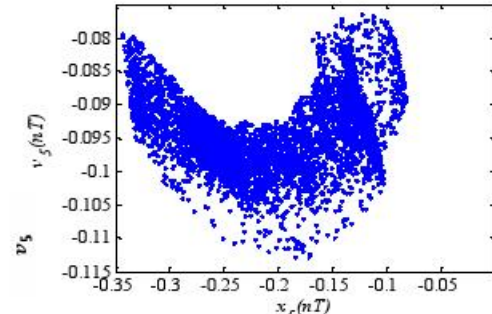
(الف)



(ب)



(ج)

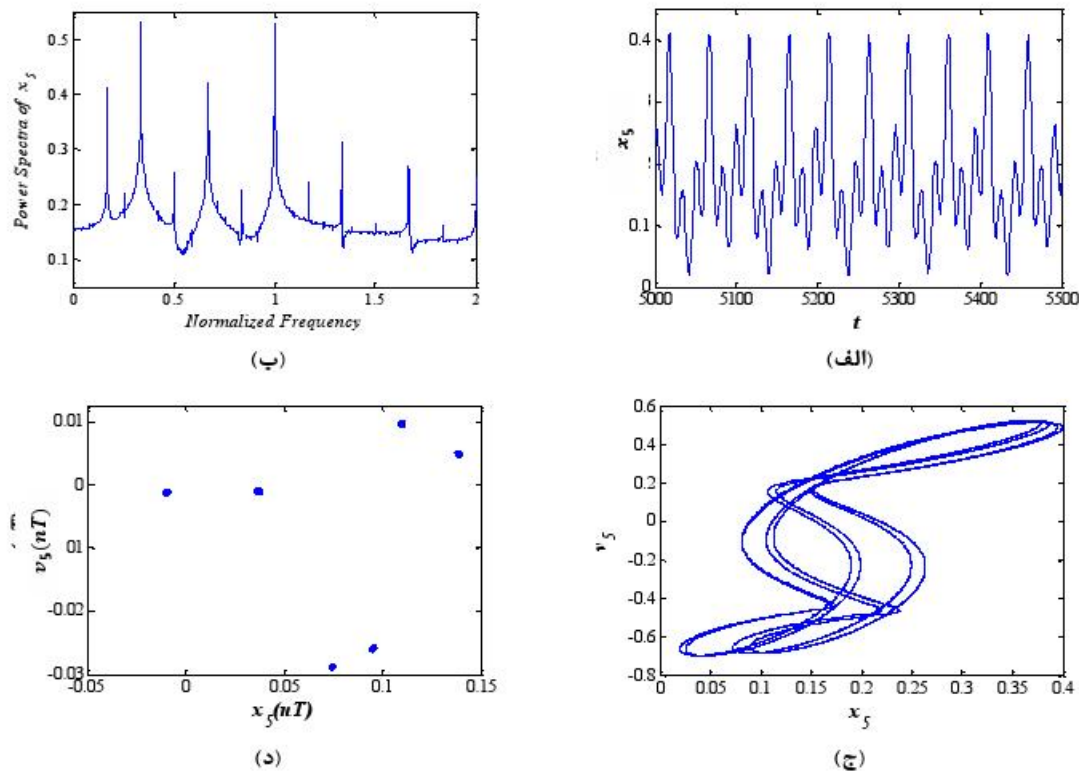


(د)

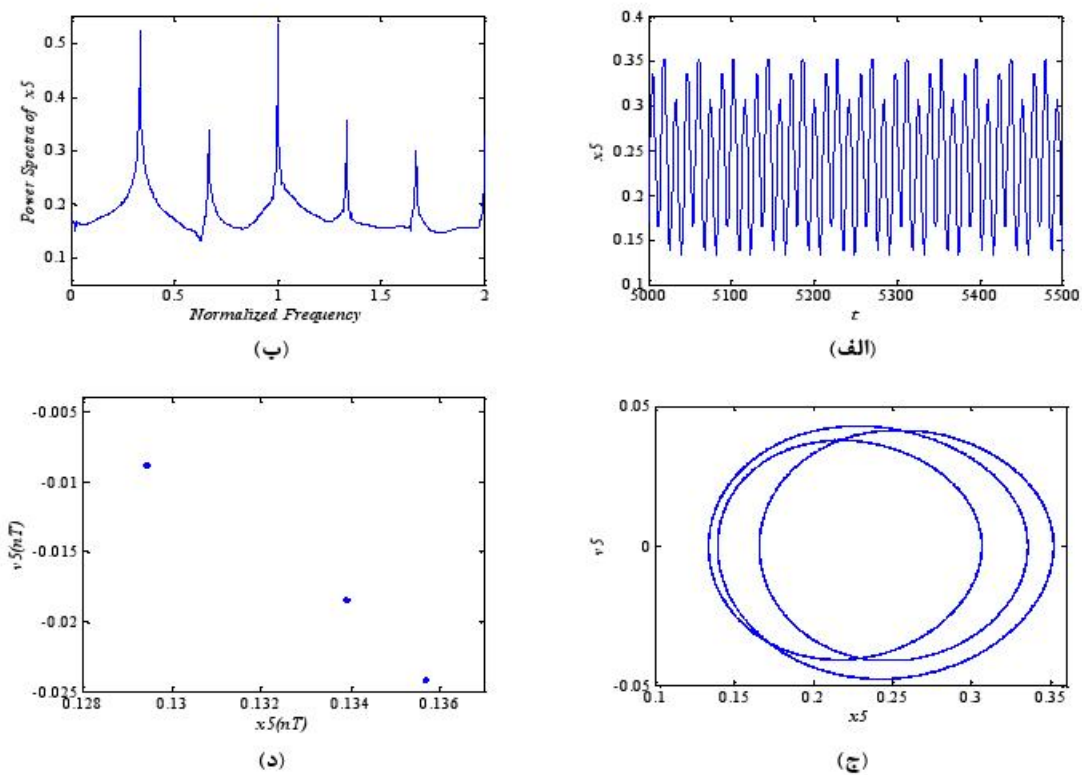
شکل ۱۸ پاسخ دیسک (الف) تاریخچه زمانی، (ب) طیف توان، (ج) منحنی صفحه فاز و (د) نگاشت بوانکاره در  $\Omega = 0.37$ .

**۴- نتیجه‌گیری**  
در این مقاله، ارتعاشات آشوبناک روتور-AMB با در نظر گرفتن سه نوع یاتاقان مغناطیسی مختلف و درنتیجه سه سختی مغناطیسی متقابل، مورد بررسی قرار گرفت. سیستم به صورت هشت درجه آزادی و به صورت انعطاف‌پذیر مدل شد و نتایج به دست آمده باهم مقایسه گردید.

برای بررسی رفتار غیرخطی سیستم تکنیک‌های مخصوص شناسایی آشوب، از جمله، تاریخچه زمانی، منحنی‌های صفحه فاز، نمودارهای طیف توان، مقاطعه پوانکاره، نمودارهای دوشاخه‌ای شدن و ماکزیمم نمای لیاپانوف، مورد استفاده قرار گرفت. آن طور که نتایج به دست آمده نشان داد، با قرار دادن یاتاقان مغناطیسی یا تعداد دور سیم پیچ بیشتر (سختی مغناطیسی بیشتر)، تفاوت چشم‌گیری در پاسخ سیستم مشاهده گردید؛ به طوری که با افزایش دور سیم پیچ قطب‌های روتور و به تعبیری با سخت‌تر شدن تکیه‌گاه روتور، نواحی آشوبناک کمتری در پاسخ سیستم رخ داد. به طوری که همان بازه‌هایی که در تحلیل اول، پاسخی آشوبناک از خود به نمایش می‌گذاشت، در تحلیل دوم و سوم به چند بازه شامل، حرکات زیر هارمونیک و آشوبناک تقسیم شد. به بیان بهتر، افزایش سختی مغناطیسی سیستم، گستته شدن نواحی آشوبناک را به تعداد بازه‌های بیشتر، اما کوچک‌تر در هی داشته است. از نکات مهم دیگر در این مقایسه، موقعیت پاسخ آشوبناک در سرعت‌های پایین‌تر و همچنین تداوم آشوب در آشوبناک در سرعت‌های بالاتر در تحلیل دوم و سوم، نسبت به تحلیل اول است: پنایرین افزایش سختی مغناطیسی سیستم به قصد کاهش تراکم آشوب، به قیمت گسترش آن به سرعت‌های پایین‌تر و بالاتر خواهد بود؛ درنتیجه، هریک از



شکل ۲۰ پاسخ دیسک (الف) تاریخچه زمانی، ب) طیف توان، ج) منحنی صفحه فاز و د) نگاشت یوانکاره در  $\Omega = 0.385$



شکل ۲۱ پاسخ دیسک (الف) تاریخچه زمانی، ب) طیف توان، ج) منحنی صفحه فاز و د) نگاشت یوانکاره در  $\Omega = 0.45$

- [2] Virgin LN, Walsh TF, Knight JD (1995) Nonlinear behavior of a magnetic bearing system. ASME J Eng Gas Turb Power 17: 582–588.
- [3] Zhang W, Zhan XP (2005) Periodic and chaotic motions of a rotor active magnetic bearing with quadratic and cubic terms and time-varying stiffness. Nonlinear Dynam 41: 331–359.
- [4] Wang H, Liu J (2005) Stability and bifurcation analysis in a magnetic bearing system with time delays. Chaos Soliton Fract 26: 813–825.
- [5] Wang H, Jiang W (2006) Multiple stabilities analysis in a magnetic bearing system with time delays. Chaos Soliton Fract 27: 789–799.
- [6] Zhang W, Yao M. H, Zhan X. P (2006) Multi-pulse chaotic motions of a rotor-active magnetic bearing system with time-varying stiffness. Chaos Soliton Fract 27: 175–186.
- [7] Inayat-Hussain, J. I (2007) Chaos via torus breakdown in the vibration response of a rigid rotor supported by active magnetic bearings. Chaos Soliton Fract 31(4): 912–927.
- [8] Amer Y, Hegazy U. H (2007) Resonance behavior of a rotor-active magnetic bearing with time-varying stiffness. Chaos Soliton Fract 34: 1328–1345.
- [9] Zhang, et al (2008) Global bifurcations and chaos for a rotor-active magnetic bearing system with time-varying stiffness. Chaos Soliton Fract 35(3): 586–608.
- [10] Jang M J, Chen C K (2001) Bifurcation analysis in flexible rotor supported by active magnetic bearings. Int J Bifurcat Chaos 11: 2163–2178.
- [11] Zhang, Zu J (2008) Transient and steady nonlinear responses for a rotor active magnetic bearings system with time-varying stiffness. Chaos Soliton Fract 38(4): 1152–1167.
- [12] Inayat-Hussain (2009) Geometric coupling effects on the bifurcations of a flexible rotor response in active magnetic bearings. Chaos Soliton Fract 41: 2664–2671.
- [13] Inayat-Hussain J (2010) Nonlinear dynamics of a statically missaligned flexible rotor in active magnetic bearings. Commun Nonlinear Sci Numer Simulat 15: 764–777.
- [14] Halminen, et al (2015) Active magnetic bearing-supported rotor with misaligned cageless backup bearings: A dropdown event simulation model. Mech Syst Signal Pr 50: 692–705.
- [15] Alasty A, Shabani R (2006) Nonlinear parametric identification of magnetic bearings. Mechatronics 451–459.
- [۱۶] حجت ی (۱۳۸۹) بررسی پارامترهای مؤثر سامانه یاتاقان مغناطیسی فعال به صورت تحلیلی و عددی. مجله فنی و مهندسی مدرس مکانیک ۳۹.

یاتاقان‌های مغناطیسی نوع اول، دوم و سوم برای عملکرد سیستم در محدوده خاصی مناسب هستند.

## ۵- فهرست علائم

مساحت یک قطب مغناطیسی، $m^2$	$A_g$
پهله مشتق گفر بدون بعد	$D$
ضریب پهله مشتق گفر، $\frac{As}{m}$	$\bar{D}$
نیروی بی بعد مغناطیس درجهت $x$	$F_{Mx}$
نیروی بی بعد مغناطیس درجهت $y$	$\bar{F}_{Mx}$
نیروی بی بعد مغناطیس درجهت $y$	$F_{My}$
نیروی بی بعد مغناطیس درجهت $y$	$\bar{F}_{My}$
فاصله هولی نامی، $m$	$g_0$
جریان استاتیکی کنترل کننده، $A$	$i_0$
جریان اولیه کوبل، $A$	$I_0$
ممان اینرسی قطبی دیسک، $kg\ m^2$	$I_p$
ممان اینرسی عرضی دیسک، $kg\ m^2$	$I_T$
جریان کنترلی درجهت $x$	$i_x$
جریان کنترلی درجهت $y$	$i_y$
تعداد دور سهم پیچ کوبل	$N$
پهله تناسبی بدون بعد	$P$
ضریب پهله تناسبی، $\frac{A}{m}$	$\bar{P}$
خارج از مرکزی دیسک، $m$	$e$
پارامتر بدون بعد تاباگری	$u$
علائم یوتانی	
ضریب کوپلینگ نیروهای مغناطیسی	$\alpha$
نسبت جرم ژورنال سمت چپ به جرم محور	$\beta$
نسبت جرم دیسک به محور	$\gamma$
نفوذپذیری میدان مغناطیسی در خلا، $\frac{H}{m}$	$\mu_0$
زمان بدون بعد	$\tau$
نسبت سرعت	$\Omega$
سرعت دورانی روتور، $\frac{rad}{s}$	$\omega$
فرکانس طبیعی خطی روتور $\frac{rad}{s} \cdot AMB$	$\omega_n$

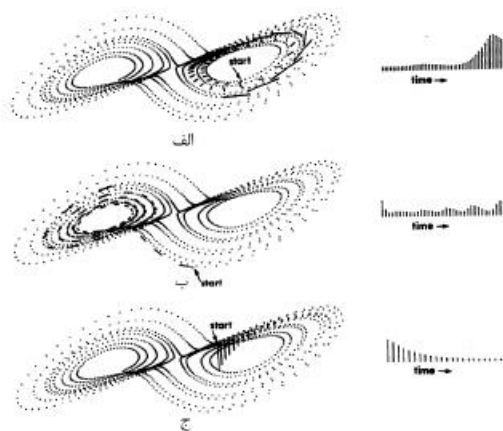
## ۶- مراجع

- [1] AM M, Fawzi E (1993) Nonlinear oscillations in magnetic bearing systems. IEEE T Automat Contr 38: 1242–1245.

جدیدی تعریف می‌شود. بدین ترتیب نمای لیاپاتوف به صورت زیر تعریف می‌شود:

$$\lambda = \frac{1}{t_N - t_0} \sum_{k=1}^N \log_2 \frac{d(t_k)}{d_0(t_{k-1})}$$

اگر  $\lambda > 0$  باشد، حرکت آشوبناک،  $\lambda < 0$  حرکت منظم و  $\lambda = 0$  پاسخ در حالت گذرا خواهد بود.



فاصله دو مسیر در فضای فاز در جاذب لورنتز (الف) و اگرایی مسیرها (ب) عدم تغییر فاصله (ج) همگرایی مسیرها [۲۰]

انتخاب پایه دو، یک انتخاب مناسب ولی دلخواه می‌باشد. نماد  $\lambda$  را نمای لیاپاتوف می‌نامند. جاذب‌های با نمای لیاپاتوف مثبت می‌بین وجود چاذب‌های غریب هستند. در این نوع جاذب‌ها، نمای لیاپاتوف مثبت، نشان‌دهنده واگرایی نمایی دو خط سیر در فضای فاز هستند که بزرگی قدر مطلق این نمای سرعت واگرایی یا همگرایی مسیرهای فاز را نشان می‌دهند.

[۱۷] دریندی م (۱۳۹۲) شناسایی خطای اندازه‌گیری سنسور در سیستم یاتاقان مغناطیسی فعال با استفاده از مشاهده‌گر تنباضی کنترلی. مجله کنترل ۲

[۱۸] Maurice L, Adams, J. R (2001) Rotary Machinery Vibration. Marcel Dekker, New York.

[۱۹] Gerhard S, Eric H. M (2009) Magnetic bearings. Springer Dordrecht Heidelberg, New York.

[۲۰] Wolf A, Swift J. B, Swinney H. L, Vastano J. A (1985) Determining lyapunov exponents from a time series. Physica D 16: 285-317.

[۲۱] Xu J (2009) Some advance on global analysis of nonlinear systems. Chaos Soliton Fract 39: 1839-1848.

## ۷- پیوست

یکی از مهم‌ترین ابزارها برای تشخیص آشوب در یک سیستم دینامیکی، ماکریزم نمای لیاپاتوف است. در برخی سیستم‌های معین غیرخطی، پاسخ سیستم پسیار به شرایط اولیه حساس می‌باشد. این بدان معناست که دو مسیری که در فضای فاز از نزدیک هم شروع شده باشند، پس از طی زمانی به صورت تملیی از هم دور می‌شوند. به عنوان مثال، اگر  $d_0$  اندازه فاصله اولیه بین دو نقطه شروع باشد، با گذشت زمان  $t$  فاصله به صورت  $d_0 e^{2\lambda t} = d(t)$  تغییر می‌کند که  $\lambda$  اشاره به نمای لیاپاتوف دارد. واگرایی مدارهای آشوبناک به صورت محلی، نمایی است. زیرا اگر سیستم محدود باشد (چنانچه اکثر سیستم‌های فیزیکی این چنین هستند)،  $(t)$  نمی‌تواند به بینهایت میل کند. بنابراین برای تعریف واگرایی مدارها باید در پسیاری از نقاط از مسیر فضای فاز متوسط گیری شود. بنابراین از یک مسیر مرجع نزدیک به مسیر اصلی شروع کرده و هر بار  $\frac{d(t)}{d_0}$  محاسبه می‌شود. با هر بار افزایش  $d(t)$  مسیر نزدیک جدیدی به عنوان مرجع انتخاب شده و